



تشکیل میانبارهای مونازیت و زنوتیم دگرنهادی در کلرآپاتیت‌های کانسار فسفات اسفوردی

صدیقه تقی‌پور، علی کنانیان*

دانشکده زمین‌شناسی، پردیس علوم، دانشگاه تهران

(دریافت مقاله: ۹۱/۱۰/۲۱، نسخه نهایی: ۹۲/۲/۲۵)

چکیده: آپاتیت اصلی‌ترین کانی فسفاتی موجود در کانسار اسفوردی است که به صورت بلورهای کاملاً شکل دار (۲۰–۲ سانتی‌متر) هم‌رشد با مگنتیت و هماتیت، رگه‌ای و رگه‌ای رخنمون یافته است. بررسی‌های سنگ‌نگاری حاکی از حضور دو نوع آپاتیت اولیه و ثانویه در این کانسار است. در تصاویر BSE تهیه شده از آپاتیت‌های اولیه، بخش‌های سالم بلور به رنگ روشن و بخش‌های دگرسان شده آن تیره دیده می‌شوند. ترکیب اولیه‌ی آپاتیت؛ کلرآپاتیت (مناطق روشن) بوده که در اثر دگرنهادی به طور بخشی به هیدروکسیل-فلور آپاتیت (مناطق تیره) تبدیل شده است. مناطق روشن آپاتیت از نظر Cl , Na_2O , SiO_2 و $\text{Y}+\text{LREE}$ غنی شده هستند. میانبارهای مونازیت و زنوتیم درون آپاتیت به دو گروه اولیه ($100-30 \mu\text{m}$) و گرمابی ($20-5 \mu\text{m}$) قابل تقسیم‌اند که انواع گرمابی در بخش‌های تیره، در محل شکستگی‌ها، میکروحفره‌ها و مرز دانه‌ها تشکیل شده‌اند. میانبارهای مونازیت و زنوتیم موجود در بخش‌های تیره به ترتیب از LREE و $\text{Y}+\text{HREE}$ غنی شده‌اند و با استفاده از دماسنجه مونازیت-زنوتیم، دمای حدود $150-350^\circ\text{C}$ را برای آپاتیت دگرنهادی نشان می‌دهند که این به دگرنهادی در شرایط رخساره شیست سبز دلالت دارد.

واژه‌های کلیدی: کانسار فسفات اسفوردی؛ کلرآپاتیت؛ دگرنهادی؛ مونازیت؛ زنوتیم.

اسفوردی دمای تشکیل آن‌ها بین $450-130^\circ\text{C}$ درجه‌ی سانتی‌گراد تعیین شد [۱]. بررسی‌های کانی‌شناسی، زمین‌شیمیایی و سنگ‌شناسی روی کانسارهای حوزه‌ی بافق نشان می‌دهد که فرآیندهای گرمابی سبب تشکیل مجموعه کانی‌های آپاتیت، مونازیت و زنوتیم در منطقه‌ی بافق شده است [۵,۳].

زوج مونازیت-زنوتیم در شرایط دگرگونی، آذرین و دگرنهادی پایدارند [۴] و ترکیب شیمیایی آن‌ها به شیمی کل سیستم، ضریب جدایش عناصر نادرخاکی بین آن‌ها، فشار و دمای سیستم بستگی دارد [۵]. بررسی رفتار این عناصر در طول دگرنهادی آپاتیت می‌تواند اطلاعات مفیدی

مقدمه کانسار فسفات اسفوردی واقع در منطقه‌ی بافق و یکی از کانسارهای آپاتیت-مگنتیت نوع کیرونا [۱] است که از زیر شاخه‌های مهم کانسارهای اکسید آهن-مس-طلاء، محسوب می‌شوند. مگنتیت-آپاتیت موجود در کانسارهای نوع کیرونا بلاعده بعد از جایگیری ماقمای سازنده‌ی آپاتیت-مگنتیت در دامنه‌ی دمایی $800-700^\circ\text{C}$ سانتی‌گراد تشکیل می‌شوند. از طرف دیگر تاثیر گرماب غنی از K-S-C-Cl-H در مرحله‌ی دگرسانی گرمابی ($300-450^\circ\text{C}$) نیز باعث تشکیل آپاتیت و میانبارهای مونازیت و زنوتیم می‌شود [۲]. بر مبنای نتایج حاصل از دماسنجه‌ای انجام شده روی آپاتیت‌های منطقه‌ی

* نویسنده مسئول، تلفن نمابر: ۰۲۱ (۶۶۴۹۱۶۲۳)، پست الکترونیکی: Kananian@khayam.ut.ac.ir

CAMECA استفاده شد. در طول آنالیز ولتاژ شتاب دهنده ۲۰ kV، شدت جریان ۵۰nA و ۲۰nA به ترتیب برای آپاتیت و مونازیت، قطر باریکه‌ی الکترونی ۱ میکرون، و زمان شمارش برای کلیه عناصر ۳۰۰ s بوده است.

زمین‌شناسی عمومی

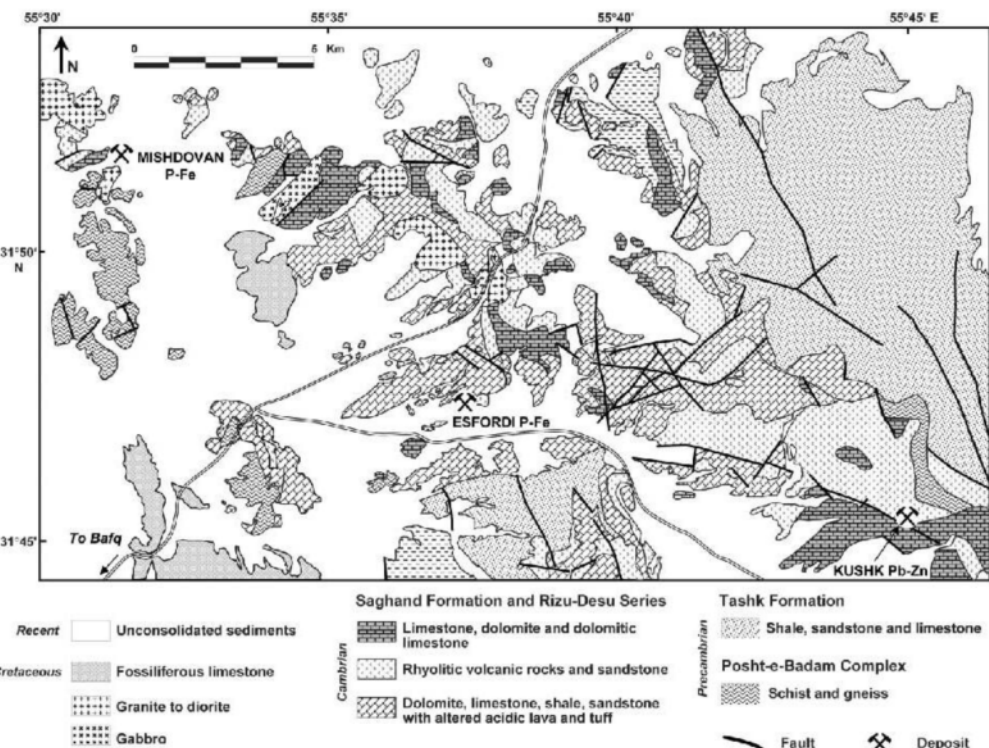
کانسار فسفات اسفوردی واقع در ۳۶ کیلومتری شمال شرق بافق به عنوان اصلی ترین کانسار فسفات آذربایجان در منطقه‌ی کانسارزائی بافق قرار گرفته است. این منطقه که جزوی از خرد قاره‌ی ایران مرکزی است، در اثر کوه‌زایی پان آفریکن و حرکت‌های زمین‌ساختی آن طی ۶۰۰ میلیون سال گذشته، تکامل یافته است [۶] (شکل ۱). پی‌سنگ منطقه‌ی اسفوردی از همبافت‌های چاپدونی، بنه شورو و سازند تاشک تشکیل شده است [۷]. کانسار اسفوردی بین سنگ‌های ریولیتی، آتش‌فشاری‌آواری، ماسه سنگ، کربنات، جاسپیلیت مربوط به بخش‌های میانی سازند ساغند رخنمون یافته است. قسمت اصلی کانسنگ ۹۰ آهن (زون آهن دار) به صورت یک عدسی بزرگ به ضخامت ۴۰۰ متر از سطح تا عمق ۴۰۰ متری امتداد یافته است. لایه اصلی آپاتیت دار روی این منطقه‌ی آهن دار واقع شده است. ضخامت لایه‌ی آپاتیتی در اعماق مختلف متفاوت است (شکل ۲).

در خصوص چگونگی تشکیل میانبارهای مونازیت و زنوتیم و نیز شرایط شاره‌ی سازنده‌ی آن‌ها در اختیار ما قرار دهد.

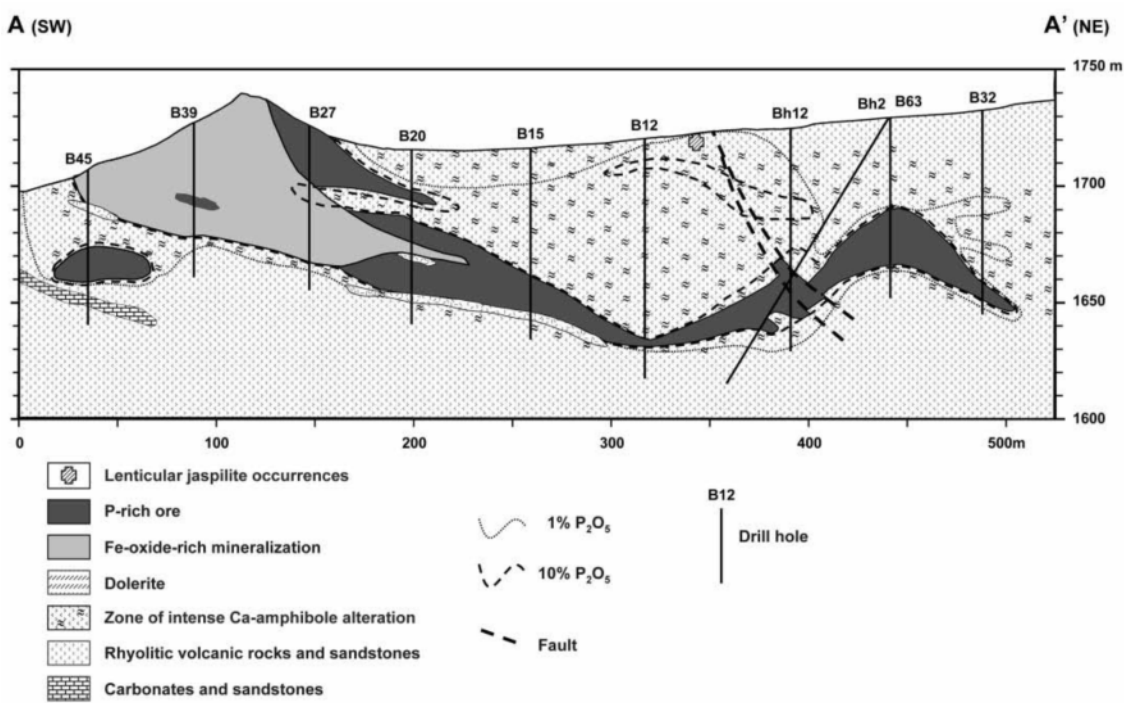
در این پژوهش سعی بر آن است که با بررسی شیمی آپاتیت، میانبارهای مونازیت و زنوتیم و بررسی رفتار عناصر نادر خاکی در این کانی‌ها، اطلاعاتی در خصوص ترکیب، شکل گیری و شرایط حاکم بر شاره‌ی عامل دگرنهادی در کانسار فسفات اسفوردی به دست آوریم و نتایج حاصل از این پژوهش را با بررسی‌های انجام شده‌ی دیگر در نمونه‌های طبیعی و مصنوعی دنیا مقایسه کنیم.

روش بررسی

پس از بررسی‌های صحرایی و کتابخانه‌ای ۱۲ نمونه از رخنمون‌های مختلف آپاتیت معدن اسفوردی جمع آوری شدند. تعداد ۱۲ مقطع نازک صیقلی و ۴ گرین مانت مورد بررسی‌های ریز پردازشی قرار گرفتند. بررسی‌های سنگ‌نگاری با (میکروسکوپ الیمپوس مدل BH-2) در دانشگاه تهران و بررسی‌های ریز پردازشی و تصویر برداری با (Backscattered electron BSE) در جی اف زد (GFZ, Germany) روی کانی آپاتیت و میانبارهای مونازیت و زنوتیم موجود در آن انجام شد. به این منظور از یک ریز پردازندگی مدل SX-50



شکل ۱ نقشه‌ی زمین‌شناسی پیرامون اسفوردی و جایگاه معدن اسفوردی روی آن [۶].



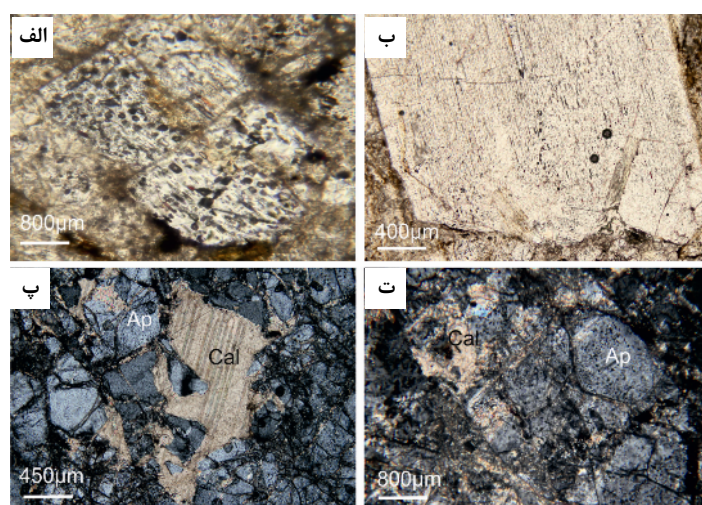
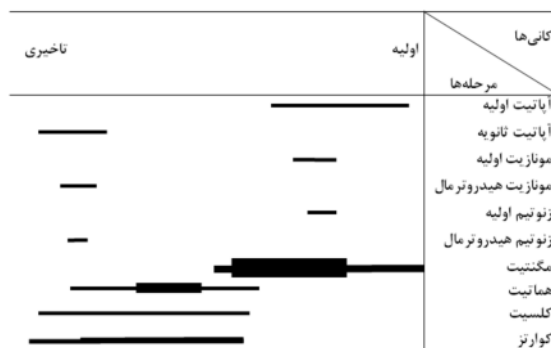
شکل ۲ مقطع عرضی لایه‌های آپاتیتی و آهن دار میان سنگ میزبان ریولیتی و دگرسان شده اسفورودی [۱].

آپاتیت‌های اولیه در تصاویر BSE از بخش‌های تیره و روشن تشکیل شده‌اند (شکل ۴ ث و ج). مناطق تیره آپاتیت حاوی میانبارهای کانی‌های عناصر نادر خاکی است که حدود ۸۵٪ آن‌ها از مونازیت (شکل ۴ پ) و ۱۵٪ از زنوتیم (شکل ۴ ت) تشکیل شده است. میانبارهای مونازیت و زنوتیم به صورت شکل دار تا کاملاً بی‌شکل هستند (شکل ۴ الف-ج). در اکثر موارد انواع اولیه این میانبارها کاملاً شکل‌دار و بزرگتر از ۵۰ میکرومتر (μm) (شکل ۴ الف، ب، پ) بوده در حالی که انواع گرمابی بی‌شکل تا نیمه شکل دارند (۲۰-۵ میکرومتر) (شکل ۴ الف، ب، ت، ج) و در مناطق تیره آپاتیت، شکستگی‌ها، میکرو و نانو حفره‌های موجود در آپاتیت و در مرز سایر دانه‌ها رشد یافته‌اند. میکرو و نانو حفره‌های در مناطق واکنشی آپاتیت به وفور مشاهده می‌شوند (شکل ۴ ث، ج). روابط پارازنتیکی برای کانی‌های فسفاتی و کانسنگ آهن اسفورودی در جدول ۱ خلاصه شده است. مگنتیت، هماتیت، کلریت، تالک، اکتینولیت، کلسیت و کوارتز از دیگر کانی‌هایی هستند که در اطراف آپاتیتها و در داخل درز و شکافها و مناطق واکنشی این کانی مشاهده می‌شوند.

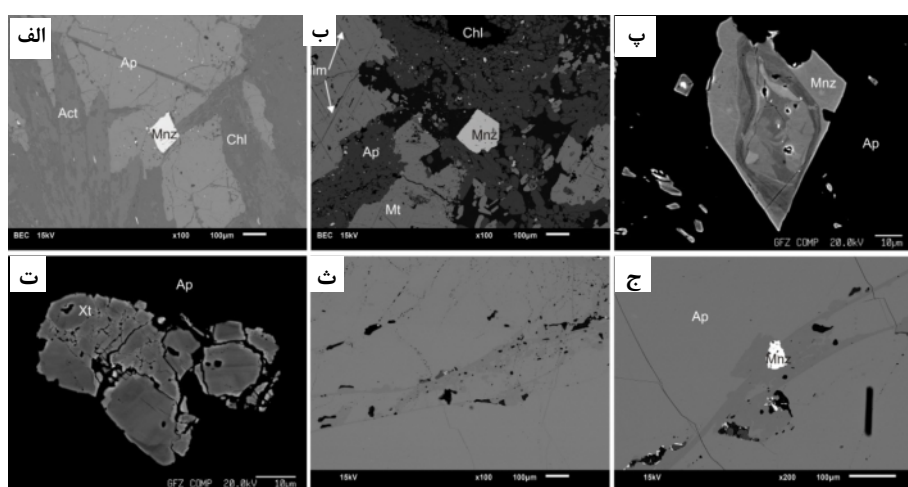
ویلیام و هوشمندزاده [۸]، برای اولین بار بر اساس مطالعات سنگ‌شناسی به وجود آپاتیت همراه آهن اسفورودی اشاره کرده‌اند. عیار میانگین P_2O_5 در این زون حدود ۱۷ درصد است. میزان ذخیره احتمالی این معدن با عیار متوسط ۱۳ درصد P_2O_5 حدود ۱۵ میلیون تن برآورد شده است [۶]. آپاتیت به صورت بلورهای بسیار بزرگ و شفاف زرد تا ارغوانی رنگ (در حد ۲۰ سانتیمتر)، توده‌ای، رگچه‌ای و رگه‌ای در کانسار اسفورودی رخمنون یافته است.

کانی‌شناسی و سنگ نگاری کانی‌های فسفاتی
آپاتیت اصلی‌ترین کانی فسفاتی موجود در کانسار اسفورودی است. این کانی به صورت اولیه و ثانویه در نمونه‌ها مشاهده می‌شود. انواع اولیه به صورت شکل‌دار تا نیمه شکل‌دار و معمولاً بزرگتر از ۵۰۰ میکرومتر هستند. آپاتیت‌های اولیه حاوی میانبارهای کانی‌های عناصر نادر خاکی بوده و معمولاً به کربنات دگرسان شده‌اند (شکل‌های ۳، ۴ الف، ب، ج). میانبارهای کانی‌های عناصر نادر خاکی، غالباً شامل مونازیت و زنوتیم هستند و معمولاً در راستای محور C آپاتیت کشیده شده‌اند. انواع ثانویه بی‌شکل تا نیمه شکل دارند و معمولاً با کانی‌های تاخیری نظیر کوارتز، کلسیت، تالک و کلریت یافت می‌شوند.

جدول ۱ روابط پاراژنتیکی کانی‌های موجود در کانسار فسفات اسفورودی.



شکل ۳ الف، ب، ت میانبراهای مونازیت و زنوتیم در راستای محور c آپاتیت‌های اولیه شکیل شده است، پ، ت کلسیت زنوتیم در حاشیه آپاتیت‌های اولیه رخنمون یافته است. شدن تاخیری در حاشیه آپاتیت‌های اولیه رخنمون یافته است.



شکل ۴ تصاویر BSE از کانسنگ فسفات اسفورودی. الف- تشکیل اکتینولیت و کلریت در کنار آپاتیت‌های اولیه، تشکیل یک مونازیت اولیه کاملاً شکل دار و انواع بسیار ریز دانه (به صورت نقاط سفید) درون آپاتیت‌های اولیه. ب- تشکیل همزنان مگنتیت-آپاتیت، رخداد تیغک‌های ایلمنیت درون مگنتیت و مونازیت‌های اولیه (شکل دار) و گرماب درون آپاتیت (نقاط سفید و ریزدانه). تصاویر BSE از میانبراهای مونازیت (پ) و زنوتیم (ت) موجود در آپاتیت‌های کانسار اسفورودی. ث- نمای کلی از یک آپاتیت اولیه که مناطق تیره، روشن و میکرو و نانو حفره‌ها به واضح در آن قابل مشاهده اند. ج مونازیت‌های بی‌شکل و گرمابی در بخش‌های تیره‌ی آپاتیت تشکیل شده است.

شیمی کانی‌های فسفاتی

آپاتیت

و روشن آپاتیت دارای ترکیب شیمیایی متفاوتی است. مناطق تیره (واکنشی) از نظر (درصد) SiO_2 ($0\text{,}07$ – $0\text{,}13$) و Na_2O ($0\text{,}07$ – $0\text{,}13$) نسبت به مناطق روشن (غیر واکنشی) غنی‌ترند. آپاتیتهای منطقه اسفوردی از لحاظ عناصر نادرخاکی سبک و به ویژه سریم غنی هستند و در زمرة آپاتیتهای تیپ کیرونا قرار می‌گیرند.

میانگین نتایج آنالیزهای ریزپردازشی آپاتیتهای منطقه اسفوردی در جدول ۲ خلاصه شده است. آپاتیتهای مورد بررسی بیشتر از نوع هیدروکسیل فلورآپاتیت با مقدار کمی کلر هستند (شکل ۵). از لحاظ زمین‌شیمیایی مناطق تیره

جدول ۲ نتایج آنالیزهای ریزپردازشی بر روی بخش‌های روشن (تعداد = ۳۸) آپاتیتهای اسفوردی.

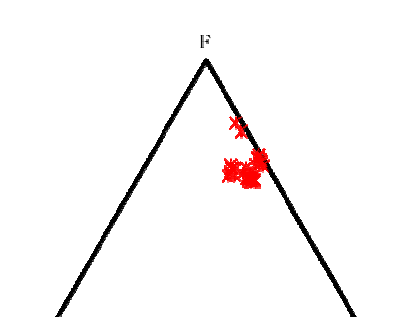
No.	۱	۲	۳	۴	۵	۶	۷	۸	۹	۱۰	۱۱	۱۲	۱۳	۱۴	۱۵	۱۶	۱۷	۱۸	۱۹
P_2O_5	۴۱,۱۱	۴۱,۴۵	۴۱,۰۲	۴۱,۸۰	۴۱,۱۷	۴۰,۹۵	۴۱,۵۸	۴۰,۸۳	۴۱,۵۱	۴۱,۲۴	۴۱,۹۰	۴۰,۸۱	۴۱,۵	۴۰,۹۷	۴۱,۷۳	۴۱,۳۵	۴۱,۱۳	۴۱,۳۲	۴۱,۳۵
SO_3	۰,۱۹	۰,۱۸	۰,۱۸	۰,۲۰	۰,۱۸	۰,۱۷	۰,۱۲	۰,۱۴	۰,۱۴	۰,۱۶	۰,۳۳	۰,۱۶	۰,۱۴	۰,۱۶	۰,۱۵	۰,۱۵	۰,۲۰	۰,۲۹	۰,۲۵
SiO_2	۰,۰۶	۰,۱۰	۰,۰۸	۰,۰۹	۰,۱۷	۰,۱۳	۰,۰۵	۰,۰۷	۰,۰۹	۰,۰۹	۰,۲۴	۰,۰۹	۰,۰۸	۰,۰۶	۰,۰۵	۰,۱۳	۰,۰۸	۰,۱۰	
Y_2O_3	۰,۱۸	۰,۱۶	۰,۱۷	۰,۱۵	۰,۱۶	۰,۱۱	۰,۱۲	۰,۱۴	۰,۱۲	۰,۱۴	۰,۰۰	۰,۱۵	۰,۱۶	۰,۱۷	۰,۱۱	۰,۱۱	۰,۲۰	۰,۰۸	۰,۱۳
La_2O_3	۰,۴۹	۰,۴۴	۰,۴۴	۰,۳۳	۰,۳۹	۰,۳۱	۰,۳۱	۰,۴۱	۰,۵۶	۰,۴۱	۰,۴۳	۰,۴۶	۰,۳۵	۰,۴۶	۰,۳۵	۰,۴۱	۰,۴۰	۰,۴۵	۰,۴۷
Ce_2O_3	۰,۹۸	۱,۰۲	۱,۰۸	۰,۷۳	۰,۹۵	۰,۸۳	۰,۷۵	۰,۹۹	۰,۹۴	۰,۸۰	۰,۶۵	۰,۷۶	۰,۹۹	۰,۹۷	۰,۸۱	۰,۹۵	۰,۹۵	۰,۹۹	۰,۸۹
Nd_2O_3	۰,۴۲	۰,۵۳	۰,۳۲	۰,۴۴	۰,۴۳	۰,۲۷	۰,۲۲	۰,۴۱	۰,۴۶	۰,۳۱	۰,۲۰	۰,۲۵	۰,۳۴	۰,۳۲	۰,۳۴	۰,۳۸	۰,۳۰	۰,۴۱	
Pr_2O_3	۰,۰۰	۰,۰۹	۰,۰۹	۰,۰۲	۰,۲۰	۰,۰۲	۰,۰۵	۰,۱۳	۰,۱۷	۰,۰۰	۰,۱۳	۰,۱۱	۰,۰۷	۰,۱۳	۰,۱۵	۰,۰۸	۰,۰۳	۰,۲۶	۰,۱۳
CaO	۵۳,۷۰	۵۳,۶۳	۵۳,۴۵	۵۳,۳۷	۵۳,۵۸	۵۳,۵۸	۵۴,۱۰	۵۳,۷۴	۵۳,۶۰	۵۴,۰۷	۵۴,۶۱	۵۳,۷۰	۵۲,۹۴	۵۳,۹۸	۵۳,۷۳	۵۳,۹۲	۵۳,۴۵	۵۳,۷۰	۵۴,۰۴
MnO	۰,۰۲	۰,۰۰	۰,۰۰	۰,۰۰	۰,۰۳	۰,۰۱	۰,۰۳	۰,۰۰	۰,۰۰	۰,۰۲	۰,۰۴	۰,۰۳	۰,۰۴	۰,۰۰	۰,۰۰	۰,۰۰	۰,۰۳	۰,۰۱	۰,۰۰
FeO	۰,۰۷	۰,۰۸	۰,۰۸	۰,۰۷	۰,۱۰	۰,۰۸	۰,۰۸	۰,۰۸	۰,۰۹	۰,۰۵	۰,۰۳	۰,۱۷	۰,۰۸	۰,۰۶	۰,۱۰	۰,۰۷	۰,۰۸	۰,۰۶	۰,۰۵
SrO	۰,۰۱	۰,۰۲	۰,۰۰	۰,۰۱	۰,۰۱	۰,۰۴	۰,۰۳	۰,۰۱	۰,۰۰	۰,۰۶	۰,۰۷	۰,۰۰	۰,۰۲	۰,۰۲	۰,۰۶	۰,۰۴	۰,۰۶	۰,۰۲	
Na_2O	۰,۳۹	۰,۵۰	۰,۳۶	۰,۲۷	۰,۳۶	۰,۳۰	۰,۲۲	۰,۳۶	۰,۳۵	۰,۳۴	۰,۰۰	۰,۰۰	۰,۳۵	۰,۳۶	۰,۲۵	۰,۳۷	۰,۵۱	۰,۳۵	
F	۱,۸۰	۱,۸۵	۱,۹۰	۱,۷۳	۱,۸۲	۱,۷۵	۱,۸۹	۱,۷۸	۱,۷۲	۱,۸۴	۱,۸۳	۱,۸۰	۱,۷۲	۱,۸۲	۱,۷۶	۱,۷۴	۱,۶۸	۱,۳۴	۱,۳۵
Cl	۰,۳۹	۰,۴۰	۰,۳۶	۰,۴۰	۰,۴۲	۰,۴۲	۰,۳۷	۰,۳۸	۰,۳۸	۰,۳۶	۰,۰۹	۰,۳۰	۰,۳۶	۰,۳۷	۰,۳۱	۰,۴۰	۰,۴۱	۰,۴۰	
OH	۱,۲۰	۱,۲۵	۱,۲۶	۱,۱۴	۱,۲۴	۱,۱۷	۱,۲۶	۱,۱۶	۱,۱۰	۱,۱۹	۰,۹۲	۰,۹۰	۱,۰۸	۱,۱۹	۱,۱۱	۱,۰۵	۱,۰۸	۰,۷۵	۰,۷۵
O-F-Cl	۱,۰۸	۱,۶۳	۱,۶۴	۱,۰۱	۱,۶۱	۱,۵۴	۱,۶۵	۱,۰۵	۱,۰۱	۱,۰۹	۱,۰۲	۱,۰۰	۱,۰۰	۱,۰۰	۱,۰۰	۱,۰۰	۱,۰۰	۱,۰۰	۱,۰۰
total	۱۰۰,۱۳	۱۰۰,۷۹	۹۹,۸۲	۹۸,۹۱	۱۰۰,۳	۹۹,۲۷	۱۰۰,۲۸	۹۹,۷۷	۱۰۰,۴۵	۱۰۰,۲۰	۱۰۰,۰۸	۹۸,۸۴	۱۰۰,۰۸	۱۰۰,۱۸	۱۰۰,۰۸	۱۰۰,۰۷۹۹,۷۸۱	۱۰۰,۰۷۹۹,۷۸۱	۱۰۰,۰۷۹۹,۷۸۱	
Y+REE	۰,۱۳	۰,۱۴	۰,۱۴	۰,۱۱	۰,۱۴	۰,۱۰	۰,۰۹	۰,۱۳	۰,۱۴	۰,۱۱	۰,۰۹	۰,۱۱	۰,۱۲	۰,۱۳	۰,۱۲	۰,۱۳	۰,۱۳	۰,۱۳	

No.	۲۰	۲۱	۲۲	۲۳	۲۴	۲۵	۲۶	۲۷	۲۸	۲۹	۳۰	۳۱	۳۲	۳۳	۳۴	۳۵	۳۶	۳۷	۳۸
P_2O_5	۴۱,۳۲	۴۱,۲۲	۴۱,۳۰	۴۱,۰۵	۴۱,۲۲	۴۱,۰۳	۴۱,۶۰	۴۱,۲۸	۴۱,۲۵	۴۱,۰۹	۴۱,۵۱	۴۰,۹۶	۴۱,۴۸	۴۱,۶۰	۴۱,۲۸	۴۱,۲۵	۴۱,۱۲	۴۱,۰۹	۴۱,۵۱
SO_3	۰,۱۸	۰,۲۱	۰,۳۵	۰,۲۹	۰,۲۴	۰,۲۴	۰,۱۵	۰,۱۴	۰,۱۵	۰,۱۶	۰,۲۷	۰,۰۹	۰,۱۴	۰,۱۴	۰,۱۵	۰,۱۵	۰,۱۶	۰,۱۶	
SiO_2	۰,۱۹	۰,۱۰	۰,۱۴	۰,۱۶	۰,۱۲	۰,۱۲	۰,۰۵	۰,۱۰	۰,۱۰	۰,۰۶	۰,۰۸	۰,۱۷	۰,۱۱	۰,۰۵	۰,۱۰	۰,۰۹	۰,۰۶	۰,۰۷	
Y_2O_3	۰,۱۳	۰,۰۷	۰,۱۷	۰,۱۵	۰,۱۴	۰,۱۷	۰,۱۴	۰,۱۱	۰,۱۲	۰,۱۵	۰,۱۵	۰,۱۵	۰,۱۲	۰,۱۴	۰,۱۱	۰,۱۲	۰,۱۴	۰,۱۵	
La_2O_3	۰,۳۷	۰,۲۷	۰,۴۷	۰,۲۸	۰,۳۰	۰,۳۴	۰,۴۴	۰,۲۸	۰,۵۱	۰,۴۵	۰,۴۲	۰,۲۸	۰,۳۳	۰,۴۳	۰,۲۸	۰,۵۰	۰,۴۳	۰,۴۲	
Ce_2O_3	۰,۷۴	۰,۷۷	۰,۷۸	۱,۱۵	۰,۸۴	۰,۹۸	۱,۱۵	۰,۸۴	۰,۹۶	۰,۸۵	۰,۹۰	۰,۹۶	۰,۶۵	۱,۱۵	۰,۸۴	۰,۹۶	۰,۸۵	۰,۸۷	
Nd_2O_3	۰,۲۸	۰,۲۰	۰,۴۵	۰,۴۳	۰,۳۸	۰,۴۲	۰,۳۷	۰,۳۸	۰,۴۶	۰,۴۹	۰,۳۳	۰,۴۶	۰,۲۸	۰,۳۷	۰,۳۸	۰,۴۵	۰,۴۶	۰,۴۸	۰,۳۳
Pr_2O_3	۰,۲۱	۰,۰۸	۰,۲۴	۰,۱۴	۰,۰۹	۰,۱۱	۰,۰۳	۰,۰۳	۰,۱۴	۰,۰۷	۰,۰۹	۰,۱۴	۰,۰۲	۰,۰۳	۰,۰۲	۰,۰۶	۰,۰۲	۰,۰۶	
CaO	۵۴,۳۴	۵۴,۴۲	۵۳,۵۱	۵۳,۳۲	۵۲,۶۹	۵۲,۹۲	۵۲,۵۱	۵۲,۵۶	۵۲,۷۴	۵۲,۳۲	۵۲,۹۵	۵۲,۰۸	۵۴,۱۰	۵۲,۵۱	۵۲,۵۶	۵۲,۷۴	۵۲,۸۱	۵۲,۸۲	۵۲,۹۵
MnO	۰,۰۰	۰,۰۰	۰,۰۴	۰,۰۴	۰,۰۱	۰,۰۳	۰,۰۱	۰,۰۰	۰,۰۴	۰,۰۱	۰,۰۶	۰,۰۲	۰,۰۱	۰,۰۱	۰,۰۰	۰,۰۳	۰,۰۲	۰,۰۱	۰,۰۶
FeO	۰,۱۱	۰,۰۹	۰,۰۸	۰,۱۰	۰,۱۱	۰,۰۹	۰,۰۹	۰,۰۸	۰,۰۷	۰,۰۸	۰,۱۰	۰,۰۸	۰,۰۶	۰,۰۸	۰,۰۸	۰,۰۶	۰,۰۸	۰,۰۷	۰,۱۰
SrO	۰,۰۲	۰,۰۵	۰,۰۱	۰,۰۴	۰,۰۳	۰,۰۲	۰,۰۱	۰,۰۲	۰,۰۲	۰,۰۱	۰,۰۳	۰,۰۲	۰,۰۰	۰,۰۰	۰,۰۲	۰,۰۰	۰,۰۲	۰,۰۰	۰,۰۰
Na_2O	۰,۲۹	۰,۲۹	۰,۴۲	۰,۳۵	۰,۳۳	۰,۳۶	۰,۰۰	۰,۰۰	۰,۰۰	۰,۰۰	۰,۰۰	۰,۰۲	۰,۰۰	۰,۰۰	۰,۰۰	۰,۰۰	۰,۰۰	۰,۰۰	
F	۱,۴۰	۱,۳۲	۱,۲۲	۱,۳۰	۱,۳۳	۱,۴۱	۱,۷۳	۱,۹۰	۱,۹۲	۱,۸۰	۱,۵۶	۱,۴۰	۱,۴۸	۲,۲۲	۳,۵۲	۳,۵۸	۳,۲۳	۳,۲۴	۲,۹۱
Cl	۰,۳۹	۰,۳۹	۰,۴۵	۰,۵۱	۰,۴۶	۰,۴۶	۰,۳۸	۰,۳۹	۰,۳۶	۰,۳۸	۰,۴۷	۰,۳۴	۰,۷۱	۰,۷۳	۰,۶۷	۰,۶۸	۰,۷۱	۰,۷۱	
OH	۰,۷۹	۰,۷۰	۰,۷۷	۰,۸۱	۰,۸۰	۰,۸۷	۱,۱۱	۱,۳۹	۱,۲۸	۱,۱۷	۰,۹۴	۰,۸۷	۰,۸۲	۱,۱۳	۱,۱۱	۱,۲۸	۱,۴۲	۱,۳۱	۱,۵۱
O-F-Cl	۱,۲۶	۱,۱۹	۱,۲۲	۱,۲۲	۱,۲۳	۱,۲۹	۱,۵۲	۱,۶۵	۱,۶۶	۱,۵۶	۱,۳۹	۱,۲۸	۱,۳۰	۱,۱۷	۱,۸۵	۱,۲۸	۱,۷۵	۱,۵۲	۱,۴۳
total	۱۰۰,۱۴	۹۹,۷۵	۱۰۰,۳	۹۹,۶۱	۹۹,۶۹	۱۰۰,۰	۹۹,۹۷	۹۹,۵۳	۱۰۰,۱۴	۹۹,۶۷	۹۹,۹۷	۹۹,۱۲	۹۹,۷۵	۱۰۰,۳۱	۹۹,۳۲	۱۰۰,۰۵۲۹۹,۳۶	۹۹,۷۱	۹۹,۹۲	
Y+REE	۰,۱۱	۰,۰۹	۰,۱۴	۰,۱۴	۰,۱۱	۰,۱۳	۰,												

ادامه جدول ۲ نتایج آنالیزهای ریزپردازشی بر روی بخش‌های تیره‌ی (تعداد = ۳۲) آپاتیت‌های اسفوردی.

No.	۱	۲	۳	۴	۵	۶	۷	۸	۹	۱۰	۱۱	۱۲	۱۳	۱۴	۱۵	۱۶
P ₂ O ₅	۴۲,۲۵	۴۲,۰۳	۴۲,۰۵	۴۲,۱۵	۴۱,۹۰	۴۱,۸۹	۴۱,۹۳	۴۱,۹۰	۴۲,۱۰	۴۱,۷۸	۴۱,۶۶	۴۱,۹۹	۴۱,۶۵	۴۲,۱۴	۴۱,۸۱	۴۱,۹۳
SO ₃	۰,۰۰	۰,۰۱	۰,۰۲	۰,۰۲	۰,۰۲	۰,۰۲	۰,۰۳	۰,۰۱	۰,۰۲	۰,۰۱	۰,۰۱	۰,۰۱	۰,۰۱	۰,۰۱	۰,۰۱	۰,۰۲
SiO ₂	۰,۰۰	۰,۱۲	۰,۱۰	۰,۰۴	۰,۲۵	۰,۲۳	۰,۱۲	۰,۰۷	۰,۱۳	۰,۰۰	۰,۰۳	۰,۱۴	۰,۱۰	۰,۰۰	۰,۰۴	۰,۱۰
Y ₂ O ₃	۰,۰۵	۰,۱۱	۰,۱۱	۰,۰۹	۰,۰۷	۰,۶	۰,۱۴	۰,۰۷	۰,۱۲	۰,۱۰	۰,۱۵	۰,۱۰	۰,۱۴	۰,۰۳	۰,۱۰	۰,۰۹
La ₂ O ₃	۰,۰۴	۰,۰۰	۰,۰۴	۰,۰۴	۰,۰۳	۰,۰۴	۰,۰۰	۰,۰۰	۰,۰۵	۰,۰۱	۰,۰۲	۰,۰۰	۰,۰۰	۰,۰۰	۰,۱۰	۰,۰۰
Ce ₂ O ₃	۰,۱۵	۰,۱۶	۰,۰۷	۰,۰۹	۰,۱۳	۰,۱۴	۰,۲۳	۰,۱۳	۰,۱۸	۰,۰۰	۰,۰۶	۰,۰۶	۰,۱۹	۰,۰۸	۰,۰۶	۰,۲۳
Nd ₂ O ₃	۰,۱۶	۰,۰۳	۰,۲۱	۰,۱۳	۰,۰۶	۰,۰۶	۰,۰۰	۰,۰۹	۰,۱۶	۰,۰۴	۰,۰۸	۰,۲۰	۰,۱۵	۰,۰۷	۰,۱۷	۰,۲۷
Pr ₂ O ₃	۰,۰۰	۰,۱۲	۰,۰۳	۰,۱۰	۰,۰۰	۰,۰۰	۰,۱۱	۰,۰۳	۰,۰۸	۰,۰۰	۰,۰۱	۰,۰۰	۰,۰۲	۰,۰۱	۰,۰۰	۰,۰۱
CaO	۵۵,۸۳	۵۵,۹۹	۵۵,۸۹	۵۵,۵۷	۵۵,۱۹	۵۵,۱۳	۵۶,۰۷	۵۵,۹۹	۵۶,۲۷	۵۶,۱۲	۵۶,۲۵	۵۶,۰۵	۵۵,۹۲	۵۶,۰۴	۵۶,۰۴	۵۵,۸۶
MnO	۰,۰۴	۰,۱۲	۰,۰۰	۰,۰۰	۰,۰۲	۰,۰۲	۰,۰۱	۰,۰۰	۰,۰۰	۰,۰۰	۰,۰۰	۰,۰۰	۰,۰۳	۰,۰۴	۰,۰۰	۰,۰۰
FeO	۰,۰۲	۰,۰۷	۰,۲۱	۰,۰۱	۰,۰۳	۰,۰۲	۰,۰۰	۰,۰۰	۰,۰۱	۰,۰۴	۰,۰۲	۰,۰۱	۰,۰۰	۰,۰۰	۰,۰۰	۰,۰۰
SrO	۰,۰۰	۰,۰۰	۰,۰۰	۰,۰۰	۰,۰۱	۰,۰۱	۰,۰۲	۰,۰۲	۰,۰۰	۰,۰۰	۰,۰۱	۰,۰۰	۰,۰۰	۰,۰۱	۰,۰۰	۰,۰۰
Na ₂ O	۰,۰۰	۰,۰۰	۰,۰۰	۰,۰۰	۰,۰۰	۰,۰۰	۰,۰۰	۰,۰۰	۰,۰۰	۰,۰۰	۰,۰۰	۰,۰۰	۰,۰۰	۰,۰۰	۰,۰۱	۰,۰۰
F	۲,۱۰	۲,۰۱	۱,۸۶	۲,۰۰	۱,۸۴	۱,۸۳	۱,۴۴	۱,۴۳	۱,۴۵	۱,۹۴	۱,۸۷	۱,۴۲	۱,۳۳	۱,۴۸	۱,۳۵	۱,۴۶
Cl	۰,۰۷	۰,۰۷	۰,۰۶	۰,۰۵	۰,۰۸	۰,۰۵	۰,۰۴	۰,۰۵	۰,۰۶	۰,۰۹	۰,۰۳	۰,۰۶	۰,۰۵	۰,۰۵	۰,۰۵	۰,۰۵
OH	۱,۱۷	۱,۰۸	۰,۹۲	۱,۰۵	۰,۹۲	۰,۹۱	۰,۴۸	۰,۴۸	۰,۵۲	۱,۰۴	۰,۹	۰,۴۸	۰,۳۹	۰,۵۳	۰,۴۰	۰,۵۱
O-F-Cl	۱,۷۱	۱,۸۳	۱,۰۵	۱,۶۱	۱,۴۹	۱,۰۰	۱,۱۵	۱,۱۵	۱,۱۸	۱,۵۸	۱,۴۹	۱,۱۴	۱,۰۷	۱,۱۹	۱,۰۸	۱,۱۷
total	۱۰۰,۹۸	۱۰۰,۹۶	۱۰۰,۸۶	۱۰۰,۵۱	۹۹,۸۳		۱۰۰,۲۶	۹۹,۹۳	۱۰۰,۰۰	۱۰۰,۳۸	۱۰۰,۴۴	۱۰۰,۲۱	۹۹,۷۴	۱۰۰,۱۰	۹۹,۹۶	۱۰۰,۱۷
Y+REE	۰,۰۳	۰,۱۳	۰,۰۳	۰,۰۳	۰,۰۲		۰,۰۳	۰,۰۲	۰,۰۴	۰,۰۱	۰,۰۲	۰,۰۳	۰,۰۱	۰,۰۳	۰,۰۴	

No.	۱۷	۱۸	۱۹	۲۰	۲۱	۲۲	۲۳	۲۴	۲۵	۲۶	۲۷	۲۸	۲۹	۳۰	۳۱	۳۲
P ₂ O ₅	۴۲,۳۵	۴۲,۳۵	۴۱,۹۰	۴۲,۱۵	۴۱,۷۸	۴۱,۹۴	۴۱,۶۶	۴۱,۹۹	۴۱,۶۵	۴۲,۱۴	۴۱,۸۱	۴۱,۹۳	۴۱,۹۳	۴۱,۹۰	۴۲,۱۰	۴۱,۴۸
SO ₃	۰,۰۴	۰,۱۴	۰,۰۲	۰,۰۲	۰,۰۱	۰,۰۰	۰,۰۱	۰,۰۱	۰,۰۱	۰,۰۱	۰,۰۲	۰,۰۳	۰,۰۱	۰,۰۲	۰,۰۹	
SiO ₂	۰,۰۰	۰,۰۰	۰,۲۵	۰,۰۴	۰,۰۰	۰,۱۰	۰,۰۳	۰,۱۴	۰,۱۰	۰,۰۰	۰,۰۴	۰,۱۰	۰,۱۲	۰,۰۷	۰,۱۳	۰,۱۱
Y ₂ O ₃	۰,۰۸	۰,۱۰	۰,۰۷	۰,۰۹	۰,۱۰	۰,۱۰	۰,۱۵	۰,۱۰	۰,۱۴	۰,۰۳	۰,۱۰	۰,۰۹	۰,۱۴	۰,۰۷	۰,۱۲	
La ₂ O ₃	۰,۰۳	۰,۰۳	۰,۰۳	۰,۰۴	۰,۰۱	۰,۰۱	۰,۰۲	۰,۰۰	۰,۰۰	۰,۰۱	۰,۰۰	۰,۰۰	۰,۰۰	۰,۰۰	۰,۰۵	۰,۳۳
Ce ₂ O ₃	۰,۱۸	۰,۱۸	۰,۱۳	۰,۰۹	۰,۰۰	۰,۰۳	۰,۰۶	۰,۰۶	۰,۱۹	۰,۰۸	۰,۰۶	۰,۲۳	۰,۲۳	۰,۱۳	۰,۱۸	۰,۶۵
Nd ₂ O ₃	۰,۱۰	۰,۱۰	۰,۰۶	۰,۱۳	۰,۰۴	۰,۱۸	۰,۰۸	۰,۲۰	۰,۱۵	۰,۰۷	۰,۲۷	۰,۰۰	۰,۰۹	۰,۱۶	۰,۲۸	
Pr ₂ O ₃	۰,۱۳	۰,۱۳	۰,۰۰	۰,۱۰	۰,۰۰	۰,۰۰	۰,۰۱	۰,۰۲	۰,۰۱	۰,۰۰	۰,۰۷	۰,۰۱	۰,۱۱	۰,۰۳	۰,۰۸	۰,۱۴
CaO	۵۵,۴۸	۵۵,۴۸	۵۵,۱۹	۵۵,۵۷	۵۶,۱۲	۵۶,۱۴	۵۶,۲۵	۵۶,۲۵	۵۶,۰۵	۵۵,۹۲	۵۶,۰۴	۵۶,۰۷	۵۵,۹۹	۵۶,۲۷	۵۴,۱۰	
MnO	۰,۰۰	۰,۰۰	۰,۰۲	۰,۰۰	۰,۰۱	۰,۰۰	۰,۰۰	۰,۰۳	۰,۰۴	۰,۰۰	۰,۰۱	۰,۰۰	۰,۰۱	۰,۰۰	۰,۰۱	
FeO	۰,۰۵	۰,۰۵	۰,۰۳	۰,۰۱	۰,۰۴	۰,۰۲	۰,۰۱	۰,۰۰	۰,۰۰	۰,۰۰	۰,۰۰	۰,۰۰	۰,۰۰	۰,۰۱	۰,۰۶	
SrO	۰,۰۰	۰,۰۰	۰,۰۱	۰,۰۰	۰,۰۰	۰,۰۰	۰,۰۰	۰,۰۱	۰,۰۰	۰,۰۰	۰,۰۰	۰,۰۰	۰,۰۰	۰,۰۰	۰,۰۲	
Na ₂ O	۰,۰۳	۰,۰۳	۰,۰۰	۰,۰۰	۰,۰۲	۰,۰۰	۰,۰۷	۰,۰۰	۰,۰۱	۰,۰۰	۰,۰۱	۰,۰۰	۰,۰۰	۰,۰۰	۰,۰۰	۰,۲۷
F	۱,۹۲	۱,۹۲	۳,۴۶	۳,۷۷	۳,۶۶	۲,۶۵	۳,۵۱	۲,۶۶	۲,۴۷	۲,۷۸	۲,۵۲	۲,۷۲	۲,۶۹	۲,۶۷	۲,۷۳	۲,۷۵
Cl	۰,۰۸	۰,۰۸	۰,۱۴	۰,۱۰	۰,۱۸	۰,۱۱	۰,۰۵	۰,۱۱	۰,۱۱	۰,۰۹	۰,۰۹	۰,۱۰	۰,۰۸	۰,۱۰	۰,۱۲	۰,۶۳
OH	۱,۰۰	۱,۰۰	۱,۱۷	۰,۶۲	۱,۰۶	۰,۸۲	۱,۴۶	۱,۰۹	۱,۵۲	۱,۳۱	۱,۱۲	۱,۰۹	۱,۲۴	۱,۴۶	۱,۱۹	۱,۱۷
O-F-Cl	۱,۵۷	۱,۵۷	۱,۱۷	۱,۶۲	۱,۴۶	۱,۵۲	۱,۴۶	۱,۷۳	۱,۵۲	۱,۳۹	۱,۶۲	۱,۰۹	۱,۷۴	۱,۴۶	۱,۱۹	۱,۱۷
total	۱۰۰,۶۸	۱۰۰,۶۸	۱۰۰,۱۴	۱۰۰,۵۰	۱۰۰,۰۵	۱۰۰,۷۸	۱۰۰,۴۷	۹۹,۶۲	۹۹,۲۹	۹۹,۹۰	۹۹,۴۲	۱۰۰,۲۵	۹۹,۶۷	۹۹,۶۲	۱۰۰,۷۹	۹۹,۸۸
Y+REE	۰,۰۳	۰,۰۳	۰,۲۹	۰,۴۶	۰,۱۶	۰,۳۳	۰,۳۲	۰,۳۸	۰,۵۰	۰,۱۸	۰,۵۱	۰,۶۱	۰,۴۸	۰,۳۲	۰,۶۰	۱,۵۲



شکل ۵ نتایج حاصل از آنالیز ریزپردازشی آپاتیت‌های منطقه اسفوردی روی نمودار سه تایی OH-F-Cl. آپاتیت‌های مذکور بیشتر از نوع گرماب فلور (±کلر) آپاتیت هستند.

،۱۲/۰۳، ۳۲/۰۷ (برحسب درصد) به ترتیب Pr_2O_3 , Sm_2O_3

و ۲/۱۷ و ۳/۸۵ است. تمامی میانبارهای مونازیت دارای مقادیری

Gd_2O_3 , Y_2O_3 , SiO_2 , CaO , ThO_2 و از نظر HREE بسیار

تهی هستند (جدول ۳).

مونازیت

میانگین نتایج حاصل از آنالیزهای میکروپرور انجام شده بر روی مونازیت‌های موجود در آپاتیت‌های کانسار اسفوردی در جدول ۳ خلاصه شده است. همهٔ مونازیت‌های مورد آنالیز از La_2O_3 , Ce_2O_3 , Ce_2O_3 غنی هستند. میزان اکسیدهای LREE

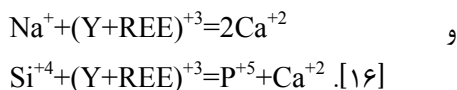
جدول ۳ میانگین نتایج آنالیزهای ریزپردازشی میانبارهای زنوتیم (تعداد ۲۸) موجود در آپاتیت‌های اسفوردی.

No.	۱	۲	۳	۴	۵	۶	۷	۸	۹	۱۰	۱۱	۱۲	۱۳	۱۴
Na_2O	۰/۰۳	۰/۰۴	۰/۰۶	۰/۰۲	۰/۰۰	۰/۰۸	۰/۰۳	۰/۰۵	۰/۰۵	۰/۰۴	۰/۰۳	۰/۰۳	۰/۰۴	۰/۰۳
FeO	۰/۰۰	۰/۰۳	۰/۰۰	۰/۱۲	۰/۰۰	۰/۰۰	۰/۰۰	۰/۰۰	۰/۳۱	۰/۰۴	۰/۰۰	۰/۰۰	۰/۰۰	۰/۰۰
P_2O_5	۳۴/۶۴	۳۴/۸۶	۲۹/۹۳	۳۳/۵۸	۳۲/۹۵	۲۶/۱۹	۳۶/۱۲	۳۳/۶۱	۳۲/۱۵	۲۸/۹۸	۳۴/۸۳	۳۴/۳۴	۲۴/۵۴	۳۴/۷۱
CaO	۱/۰۹	۱/۱۹	۱/۱۱	۵/۴۹	۰/۹۴	۲/۶۷	۳/۶۳	۱/۳۹	۱/۶۳	۱/۶۵	۰/۷۰	۰/۶۱	۰/۷۲	۱/۲۶
SiO_2	۰/۰۰	۰/۰۰	۱/۰۷	۰/۲۶	۱/۶۴	۰/۰۰	۰/۰۰	۰/۰۰	۱/۵۰	۴/۳۰	۰/۰۶	۰/۲۶	۰/۴۲	۰/۰۶
La_2O_3	۰/۰۰	۰/۰۰	۱/۲۹	۱/۰۰	۰/۰۳	۰/۰۰	۰/۰۰	۰/۰۰	۰/۰۰	۰/۰۸	۰/۰۰	۰/۰۰	۰/۰۰	۰/۰۰
UO_2	۰/۱۴	۰/۱۲	۰/۳۸	۰/۳۳	۰/۳۰	۰/۱۸	۰/۱۲	۰/۱۴	۰/۴۰	۰/۹۱	۰/۱۰	۰/۱۳	۰/۱۴	۰/۱۰
Y_2O_3	۴۳/۹۱	۴۴/۴۵	۱۴/۴۲	۴۰/۵۶	۴۳/۹۲	۴۳/۶۲	۴۶/۰۶	۴۶/۴۹	۴۴/۲۷	۴۵/۳۴	۴۶/۲۰	۴۵/۱۵	۴۵/۷۵	۴۵/۷۳
PbO	۰/۰۱	۰/۰۱	۰/۰۰	۰/۰۰	۰/۰۱	۰/۰۰	۰/۰۰	۰/۰۰	۰/۰۰	۰/۰۱	۰/۰۰	۰/۰۰	۰/۰۰	۰/۰۰
Ce_2O_3	۰/۰۴	۰/۰۹	۲/۷۱	۰/۰۲	۰/۰۹	۰/۰۲	۰/۱۰	۰/۰۸	۰/۱۳	۰/۰۰	۰/۰۰	۰/۰۲	۰/۰۰	۰/۰۰
Pr_2O_3	۰/۰۳	۰/۰۰	۰/۰۲۳	۰/۰۰۴	۰/۰۶	۰/۰۳	۰/۰۷	۰/۰۶	۰/۰۶	۰/۱۳	۰/۰۱	۰/۰۱	۰/۰۰	۰/۰۰
ThO_2	۰/۸۹	۰/۶۱	۰/۲۴	۰/۰۸	۱/۲۹	۰/۱۱	۰/۰۴	۰/۲۰	۰/۳۲	۰/۱۲	۰/۰۷	۰/۱۱	۰/۱۲	۰/۰۵
Gd_2O_3	۲/۵۱	۳/۳۷	۱/۸۶	۲/۰۶	۲/۴۳	۲/۹۳	۱/۹۷	۲/۴۱	۲/۶۳	۱/۳۷	۲/۷۷	۳/۲۲	۲/۵۰	۲/۴۵
Nd_2O_3	۰/۱۳	۰/۲۶	۰/۹۵	۰/۱۳	۰/۳۰	۰/۳۸	۰/۱۲	۰/۴۹	۰/۲۶	۰/۱۲	۰/۱۰	۰/۰۸	۰/۱۱	۰/۰۸
Dy_2O_3	۵/۲۱	۵/۱۲	۴/۱۶	۴/۴۹	۴/۶۹	۵/۰۳	۴/۰۴	۴/۸۰	۵/۰۸	۳/۶۷	۵/۰۳	۵/۰۵	۵/۱۴	۴/۹۲
Sm_2O_3	۰/۳۵	۰/۴۰	۰/۲۷	۰/۲۱	۰/۴۵	۰/۰۵	۰/۱۶	۰/۰۴	۰/۳۸	۰/۰۷	۰/۳۱	۰/۳۸	۰/۳۷	۰/۳۱
Lu_2O_3	۰/۴۴	۰/۴۹	۰/۴۸	۰/۴۸	۰/۴۳	۰/۴۴	۰/۰۰	۰/۴۶	۰/۳۸	۰/۷۵	۰/۴۸	۰/۴۹	۰/۴۵	۰/۴۹
Yb_2O_3	۲/۸۵	۲/۷۳	۳/۰۳	۲/۸۸	۲/۹۱	۲/۸۲	۲/۱۸	۳/۰۹	۲/۶۹	۴/۳۶	۲/۹۸	۳/۰۰	۲/۸۳	۲/۰۳
Tb_2O_3	۰/۸۳	۰/۷۰	۰/۰۳	۰/۰۱	۰/۰۹	۰/۶۸	۰/۰۲	۰/۶۰	۰/۶۳	۰/۳۶	۰/۰۸	۰/۷۱	۰/۶۹	۰/۰۳
Ho_2O_3	۱/۰۸	۱/۰۵	۱/۰۱	۱/۰۴	۰/۹۹	۱/۱۶	۱/۰۰	۱/۰۵	۱/۱۱	۰/۹۰	۱/۰۱	۱/۰۶	۱/۱۲	۱/۱۷
Er_2O_3	۳/۶۱	۳/۵۲	۳/۷۰	۳/۴۳	۳/۵۸	۳/۶۴	۳/۸۰	۳/۶۲	۳/۶۵	۴/۱۰	۳/۶۴	۳/۷۱	۳/۶۸	۳/۵۹
Total	۱۰۰/۵۴	۱۰۰/۷۳	۹۶/۷۱	۹۷/۳۵	۹۹/۲۲	۱۰۲/۴۱	۱۰۲/۹۱	۱۰۱/۵۱	۹۹/۳۳	۹۸/۸۲	۱۰۰/۵۴	۱۰۰/۴۱	۱۰۰/۴۱	۱۰۰/۴۱
No.	۱۵	۱۶	۱۷	۱۸	۱۹	۲۰	۲۱	۲۲	۲۳	۲۴	۲۵	۲۶	۲۷	۲۸
Na_2O	۰/۰۷	۰/۰۱	۰/۰۳	۰/۰۲	۰/۰۴	۰/۰۱	۰/۰۳	۰/۰۴	۰/۰۶	۰/۰۲	۰/۰۰	۰/۰۸	۰/۰۳	۰/۰۵
FeO	۲/۱۵	۱/۰۰	۰/۰۲	۰/۱۶	۲/۷۹	۲/۱۵	۰/۰۰	۰/۰۳	۰/۰۰	۰/۱۲	۰/۰۰	۰/۰۰	۰/۰۰	۰/۰۰
P_2O_5	۳۵/۰۵	۳۲/۷۶	۳۵/۴۳	۳۴/۸۸	۳۴/۴۰	۳۴/۷۱	۳۴/۶۷	۳۴/۸۶	۲۹/۹۳	۳۳/۵۸	۳۲/۹۵	۲۶/۱۹	۳۶/۱۲	۳۳/۶۱
CaO	۰/۸۹	۱/۶۸	۱/۹۳	۱/۵۶	۰/۲۴	۰/۹۹	۱/۰۹	۱/۱۹	۱/۱۱	۵/۴۹	۰/۹۴	۲/۶۷	۳/۶۳	۱/۳۹
SiO_2	۰/۰	۰/۹۰	۰/۱۱	۰/۰۴	۱/۸۳	۰/۶۶	۰/۰۰	۰/۰۰	۱/۷	۰/۲۶	۱/۶۴	۰/۰۰	۰/۰۰	۰/۷۷
La_2O_3	۰/۰۰	۰/۰۰	۰/۰۳	۰/۱۰	۰/۰۰	۰/۰۱	۰/۰۰	۰/۰۰	۱/۲۹	۱/۰۰	۰/۰۳	۰/۰۰	۰/۰۰	۰/۰۰
UO_2	۰/۰۷	۰/۰۱	۰/۰۰	۰/۰۰	۰/۰۰	۰/۰۰	۰/۱۴	۰/۱۲	۰/۳۸	۰/۰۳	۰/۰۰	۰/۱۸	۰/۱۲	۰/۰۴
Y_2O_3	۴۴/۲۸	۴۰/۱۹	۴۰/۰۱	۴۱/۰۷	۴۲/۳۰	۴۱/۱۶	۴۳/۹۱	۴۴/۴۵	۱۴/۴۲	۴۰/۰۶	۴۳/۹۲	۴۳/۶۲	۴۶/۰۶	۴۶/۴۹
PbO	۰/۰۰	۰/۰۱	۰/۰۰	۰/۰۱	۰/۰۰	۰/۰۰	۰/۰۱	۰/۰۱	۰/۰۰	۰/۰۱	۰/۰۰	۰/۰۰	۰/۰۰	۰/۰۱
Ce_2O_3	۰/۰۸	۰/۱۱	۰/۷۱	۰/۷۵	۰/۱۷	۰/۷۶	۰/۰۴	۰/۰۹	۲/۷۱	۰/۰۲	۰/۰۹	۰/۰۹	۰/۰۲	۰/۱۰
Pr_2O_3	۰/۰۰	۰/۱۲	۰/۰۲	۰/۰۵	۰/۰۹	۰/۲۱	۰/۰۳	۰/۰۰	۰/۲۲	۰/۰۴	۰/۰۶	۰/۰۲	۰/۰۷	۰/۰۶
ThO_2	۰/۰۶	۰/۰۱	۰/۰۳	۰/۰۳	۰/۰۱	۰/۰۱	۰/۸۹	۰/۶۱	۰/۲۴	۰/۰۸	۱/۲۹	۰/۱۱	۰/۰۴	۰/۲۰
Gd_2O_3	۲/۳۰	۳/۳۵	۳/۳۸	۳/۸۷	۳/۷۵	۳/۷۱	۳/۵۱	۳/۳۷	۱/۸۶	۲/۰۶	۲/۴۳	۲/۹۳	۱/۹۷	۲/۴۱
Nd_2O_3	۰/۰۸	۰/۷۸	۱/۸۲	۲/۰۲	۱/۰۱	۲/۱۶	۰/۱۳	۰/۲۶	۰/۹۵	۰/۱۳	۰/۳۰	۰/۳۸	۰/۱۲	۰/۴۹
Dy_2O_3	۶/۰۷	۵/۰۲	۴/۶۲	۴/۸۹	۵/۴۶	۵/۰۱	۵/۲۱	۵/۱۲	۴/۱۶	۴/۴۹	۴/۶۹	۵/۰۳	۴/۰۴	۴/۸۰
Sm_2O_3	۰/۳۲	۰/۸۸	۱/۲۸	۱/۵۸	۱/۱۷	۱/۴۸	۰/۳۵	۰/۴۰	۰/۲۷	۰/۲۱	۰/۴۵	۰/۵۵	۰/۱۶	۰/۴۴
Lu_2O_3	۰/۴۹	۰/۴۲	۰/۴۱	۰/۳۷	۰/۴۴	۰/۳۸	۰/۴۴	۰/۴۹	۰/۴۸	۰/۴۸	۰/۴۳	۰/۴۴	۰/۵۰	۰/۴۶
Yb_2O_3	۲/۵۱	۲/۷۱	۲/۴۱	۲/۴۰	۲/۶۹	۲/۵۲	۲/۸۵	۲/۷۳	۳/۰۳	۲/۸۸	۲/۹۱	۲/۸۲	۳/۱۸	۳/۰۹
Tb_2O_3	۰/۷۰	۰/۶۶	۰/۶۶	۰/۷۸	۰/۶۲	۰/۸۳	۰/۸۳	۰/۷۰	۰/۵۲	۰/۵۱	۰/۵۹	۰/۶۱	۰/۵۲	۰/۶۰
Ho_2O_3	۱/۱۷	۱/۰۲	۰/۹۵	۰/۹۲	۱/۱۹	۰/۹۵	۱/۰۸	۱/۰۵	۱/۰۱	۱/۰۴	۰/۹۹	۱/۱۶	۱/۰۰	۱/۰۵
Er_2O_3	۳/۴۸	۳/۳۷	۳/۲۱	۳/۱۲	۳/۴۹	۳/۱۹	۳/۶۱	۳/۵۲	۳/۷۰	۳/۴۳	۳/۵۸	۳/۶۴	۳/۸۰	۳/۶۲
Total	۱۰۲/۹۵	۱۰۱/۶۵	۱۰۰/۴۰	۱۰۰/۳۱	۱۰۳/۷۶	۱۰۲/۲۷	۱۰۰/۵۴	۱۰۰/۷۳	۹۶/۷۱	۹۷/۳۵	۹۹/۲۲	۱۰۲/۴۱	۱۰۲/۹۱	۱۰۱/۵۱

ادامه جدول ۳ میانگین نتایج آنالیزهای ریزپردازشی میانبارهای مونازیت (تعداد=۳۴) موجود در آپاتیت‌های اسفوردی.

No.	۱	۲	۳	۴	۵	۶	۷	۸	۹	۱۰	۱۱	۱۲	۱۳	۱۴	۱۵	۱۶	۱۷
P ₂ O ₅	۲۹,۳۸	۳۰,۱۳	۲۸,۸۹	۲۹,۳۹	۲۹,۹۹	۳۰,۴۳	۳۰,۷۴	۳۰,۵۰	۳۰,۱۱	۳۰,۵۴	۲۹,۶۱	۳۱,۵۳	۲۹,۳۲	۲۹,۶۵	۲۹,۷۷	۳۰,۱۳	۲۹,۹۴
CaO	۳,۷۱	۵,۰۵	۲,۳۶	۲,۳۱	۲,۵۵	۲,۳۸	۲,۳۵	۲,۸۶	۱,۲۷	۰,۴۷	۲,۶۳	۱,۹۰	۲,۱۴	۰,۳۸	۰,۵۲	۰,۸۷	۰,۷۸
SiO ₂	۱,۲۹	۱,۱۰	۱,۴۷	۱,۲۸	۰,۴۵	۰,۱۴	۰,۰۸	۰,۱۷	۰,۴۶	۰,۵۶	۰,۴۱	۰,۰۰	۲,۲۲	۱,۶۲	۱,۶۴	۱,۳۱	۰,۵۹
La ₂ O ₃	۱۲,۲۳	۱۳,۶۶	۱۶,۴۶	۱۶,۸۴	۱۴,۲۰	۱۴,۳۷	۱۳,۸۷	۱۴,۸۷	۱۶,۱۷	۱۳,۸۸	۱۲,۴۵	۱۵,۷۷	۱۶,۳۲	۱۳,۳۳	۱۳,۴	۱۳,۵۷	۱۴,۰۲
UO ₂	۰,۰۰	۰,۰۰	۰,۰۰	۰,۰۰	۰,۰۰	۰,۰۰	۰,۰۰	۰,۰۰	۰,۰۰	۰,۰۰	۰,۰۰	۰,۰۰	۰,۰۰	۰,۰۰	۰,۰۰	۰,۰۰	۰,۰۰
Y ₂ O ₃	۰,۶۵	۰,۴۸	۰,۰۶	۰,۰۵	۰,۸	۰,۴۱	۰,۳۴	۰,۳۸	۰,۰۷	۰,۶۳	۱,۱۱	۰,۱۱	۰,۱۱	۰,۱۴	۰,۱۲	۰,۳۱	۰,۱۶
PbO	۰,۰۰	۰,۰۰	۰,۰۰	۰,۰۰	۰,۰۰	۰,۰۰	۰,۰۰	۰,۰۰	۰,۰۰	۰,۰۰	۰,۰۰	۰,۰۰	۰,۰۰	۰,۰۰	۰,۰۰	۰,۰۰	۰,۰۰
Ce ₂ O ₃	۳۵,۰	۳۲,۷۰	۳۵,۷۵	۵۱,۳۵	۳۳,۲۲	۳۳,۲۹	۳۳,۰۴	۳۳,۲۴	۳۴,۰۶	۳۳,۵۳	۳۱,۵۲	۳۲,۵۸	۳۴,۵۶	۳۲,۳۵	۳۲,۴۳	۳۲,۰۹	۳۴,۵
Pr ₂ O ₃	۳,۵۲	۳,۳۴	۳,۲۸	۳,۳۰	۳,۳۴	۳,۵۱	۳,۵۴	۳,۵۰	۳,۲۵	۳,۶۹	۳,۶۱	۳,۴۵	۳,۰۶	۳,۷۲	۳,۶۷	۳,۷۷	۳,۶۳
ThO ₂	۰,۰۲	۰,۰۶	۰,۴۲	۰,۲۱	۰,۳۱	۰,۰۳	۰,۱۱	۰,۰۳	۰,۰۲	۰,۰۷	۰,۱۱	۰,۰۰	۰,۱۸	۰,۲۱	۰,۲۲	۰,۱۸	۰,۲۰
Gd ₂ O ₃	۰,۵۲	۰,۵۴	۰,۱۸	۰,۳۷	۰,۹۸	۱,۰۵	۱,۰۵	۰,۹۳	۰,۷۶	۰,۹۸	۱,۳۴	۰,۸۲	۰,۲۱	۰,۹۵	۱,۰۹	۱,۱۳	۰,۷۴
Nd ₂ O ₃	۱۱,۵۳	۱۰,۸۵	۱۰,۱۱	۱۰,۰۴	۱۱,۷۲	۱۲,۸۳	۱۲,۹۹	۱۲,۲۸	۱۱,۶۷	۱۳,۹۱	۱۳,۶۶	۱۱,۴۶	۸,۸۲	۱۲,۹۴	۱۴,۲۵	۱۳,۸۶	۱۳,۲۵
Dy ₂ O ₃	۰,۲۰	۰,۱۰	۰,۰۶	۰,۰۱	۰,۲۶	۰,۱۷	۰,۱۹	۰,۱۱	۰,۰۹	۰,۲۱	۰,۴۵	۰,۰۸	۰,۰۴	۰,۱۳	۰,۱۱	۰,۱۸	۰,۰۹
Sm ₂ O ₃	۱,۰۱	۰,۹۱	۰,۶۲	۰,۶۹	۱,۴۱	۱,۶۱	۱,۶۷	۱,۴۵	۱,۲۷	۱,۰۲	۱,۰۵	۱,۲۵	۰,۴۹	۱,۸۵	۱,۹۰	۱,۹۱	۱,۳۴
Lu ₂ O ₃	۰,۰۱	۰,۰۰	۰,۰۲	۰,۰۰	۰,۰۰	۰,۰۱	۰,۰۰	۰,۰۵	۰,۰۲	۰,۰۰	۰,۰۲	۰,۰۰	۰,۰۲	۰,۰۰	۰,۰۲	۰,۰۰	۰,۰۴
Yb ₂ O ₃	۰,۰۰	۰,۰۰	۰,۰۱	۰,۰۰	۰,۰۰	۰,۰۰	۰,۰۰	۰,۰۰	۰,۰۰	۰,۰۰	۰,۰۰	۰,۰۰	۰,۰۰	۰,۰۱	۰,۰۰	۰,۰۰	۰,۰۰
Tb ₂ O ₃	۰,۰۸	۰,۰۵	۰,۰۰	۰,۰۰	۰,۱۴	۰,۰۴	۰,۱۰	۰,۰۳	۰,۰۳	۰,۰۵	۰,۱۲	۰,۰۹	۰,۰۰	۰,۰۸	۰,۰۱	۰,۰۷	۰,۰۲
Ho ₂ O ₃	۰,۰۶	۰,۰۱	۰,۰۵	۰,۰۰	۰,۰۰	۰,۰۱	۰,۰۵	۰,۰۰	۰,۰۰	۰,۱۳	۰,۰۰	۰,۰۵	۰,۰۰	۰,۰۰	۰,۰۰	۰,۰۰	۰,۰۰
Er ₂ O ₃	۰,۰۰	۰,۱۱	۰,۰۵	۰,۰۰	۰,۰۰	۰,۰۱	۰,۰۳	۰,۰۴	۰,۰۴	۰,۰۹	۰,۰۶	۰,۰۰	۰,۰۰	۰,۰۰	۰,۰۰	۰,۰۰	۰,۰۰
Total	۱۰۰,۴۷	۱۰۰,۲۰	۹۹,۸۶	۱۰۰,۰۱	۹۹,۴۶	۱۰۰,۳۵	۱۰۰,۲۶	۱۰۰,۴۹	۹۹,۵۷	۱۰۰,۲۹	۹۹,۵۶	۱۰۰,۰	۹۸,۶۰	۹۸,۶۰	۱۰۰,۳۷	۱۰۰,۷۱	۹۹,۵۳
No.	۱۸	۱۹	۲۰	۲۱	۲۲	۲۳	۲۴	۲۵	۲۶	۲۷	۲۸	۲۹	۳۰	۳۱	۳۲	۳۳	۳۴
P ₂ O ₅	۲۹,۸۵	۳۰,۱۷	۳۰,۲۴	۳۰,۲۷	۳۰,۳۱	۳۰,۲۲	۳۰,۲۳	۳۰,۴۲	۳۰,۳۰	۳۰,۱۹	۳۰,۳۵	۳۰,۳۱	۳۰,۰۷	۳۰,۱۷	۳۰,۴۵	۳۰,۲۴	۳۰,۳۱
CaO	۰,۸۹	۰,۴۳	۰,۴۲	۰,۲۵	۰,۲۵	۰,۰۶	۰,۲۸	۰,۱۳	۰,۷۲	۰,۷۱	۰,۵۸	۰,۲۸	۰,۲۶	۰,۲۸	۰,۲۵	۰,۲۵	۰,۲۵
SiO ₂	۰,۶۰	۰,۴۲	۰,۳۹	۰,۳۶	۰,۳۸	۰,۴۹	۰,۳۴	۰,۳۱	۰,۳۱	۰,۲۹	۰,۲۴	۰,۵۴	۰,۴۶	۰,۴۱	۰,۵۶	۰,۴۵	۰,۴۵
La ₂ O ₃	۱۲,۶۸	۱۱,۷۵	۱۱,۶۲	۱۲,۲	۱۲,۰	۱۲,۶۶	۱۱,۴۱	۱۲,۲۵	۱۰,۰۹	۱۰,۸۲	۱۴,۰۹	۱۱,۳۴	۱۲,۸۱	۱۳,۶۱	۱۱,۷۳	۱۲,۷۷	۱۲,۷۷
UO ₂	۰,۰۰	۰,۰۰	۰,۰۰	۰,۰۰	۰,۰۰	۰,۰۰	۰,۰۰	۰,۰۰	۰,۰۰	۰,۰۰	۰,۰۰	۰,۰۰	۰,۰۰	۰,۰۰	۰,۰۰	۰,۰۰	۰,۰۰
Y ₂ O ₃	۰,۲۲	۲۲,۲۱	۰,۵۴	۰,۴۵	۰,۴۷	۰,۰۸	۰,۴۲	۰,۲۵	۰,۵۵	۰,۴۶	۰,۱۶	۰,۴۹	۰,۳۲	۰,۲۴	۰,۳۰	۰,۲۶	۰,۲۶
PbO	۰,۰۰	۳,۷۴	۰,۰۰	۰,۰۰	۰,۰۰	۳۲,۲۳	۰,۰۰	۰,۰۰	۰,۰۰	۰,۰۰	۰,۰۰	۰,۰۰	۰,۰۰	۰,۰۰	۰,۰۰	۰,۰۰	۰,۰۰
Ce ₂ O ₃	۳۴,۰۱	۰,۶۳	۲۲,۱۳	۳۲,۸۷	۳۲,۷۵	۳۴,۰۱	۳,۹۶	۳۳,۳۶	۳۱,۱۹	۳۱,۶۶	۳۴,۵۷	۳۱,۸۴	۳۴,۷۲	۳۲,۹۴	۳۳,۱۴	۳۳,۸۳	۳۳,۸۳
Pr ₂ O ₃	۳,۶۷	۱,۵	۳,۷۸	۳۲,۱۲	۳,۹۴	۳,۹	۰,۰۸	۳,۹۴	۳,۸۲	۳,۹	۳,۵۲	۳,۹۱	۳,۹۳	۳,۷۶	۳,۹۱	۳,۸۵	۳,۹۶
ThO ₂	۰,۱۸	۱۰,۳۳	۰,۷۰	۳,۷۸	۰,۱۴	۰,۰۰	۱,۲۷	۰,۰۰	۰,۱۱	۰,۱۳	۰,۰۲	۰,۵۳	۰,۳۹	۰,۰۲	۰,۰۳	۰,۴۳	۰,۳۶
Gd ₂ O ₃	۰,۸۱	۰,۲۰	۱,۵۱	۰,۵۲	۱,۴۵	۰,۸۸	۱۶,۰۵	۰,۹۲	۱,۵۶	۱,۰۲	۰,۸۷	۱,۵۱	۰,۸۱	۰,۷۷	۱,۳۰	۱,۲۴	۱,۰۹
Nd ₂ O ₃	۱۲,۳۴	۲,۳۳	۱۵,۴۹	۱,۴۸	۱۵,۶۷	۱۵,۶۸	۰,۱۶	۰,۰۳	۱۶,۸۶	۱۶,۵۱	۱۳,۱۱	۱۶,۲۹	۱۵,۰۹	۱۴,۵۱	۱۵,۶۲	۱۴,۹۵	۱۴,۵۹
Dy ₂ O ₃	۰,۰۴	۰,۰۲	۰,۱۹	۱۵,۱۵	۰,۲۸	۰,۱۵	۲,۴۸	۱,۸۴	۰,۲۹	۰,۲۱	۰,۰۹	۰,۲۱	۰,۰۶	۰,۰۸	۰,۲۴	۰,۱۸	۰,۱۳
Sm ₂ O ₃	۱,۴۷	۰,۰۰	۲,۴۸	۰,۱۹	۲,۴۵	۲,۰۲	۰,۰۰	۰,۰۳	۲,۷۴	۰,۰۲	۱,۵۷	۲,۵۵	۱,۶۷	۱,۰۵	۲,۴۴	۲,۲۸	۲,۰۷
Lu ₂ O ₃	۰,۰۲	۰,۰۰	۰,۰۳	۰,۰۰	۰,۰۰	۰,۰۴	۰,۰۰	۰,۰۲	۰,۰۰	۰,۰۰	۰,۰۰	۰,۰۰	۰,۰۰	۰,۰۵	۰,۰۰	۰,۰۰	۰,۰۰
Yb ₂ O ₃	۰,۰۰	۰,۰۰	۰,۰۳	۰,۰۰	۰,۰۰	۰,۰۰	۰,۰۰	۰,۰۰	۰,۰۰	۰,۰۰	۰,۰۰	۰,۰۰	۰,۰۰	۰,۰۳	۰,۰۸	۰,۰۳	۰,۰۰
Tb ₂ O ₃	۰,۰۴	۰,۰۰	۰,۰۳	۰,۰۰	۰,۰۳	۰,۰۲	۰,۰۱	۰,۰۰	۰,۰۳	۰,۰۱	۰,۰۰	۰,۰۸	۰,۰۲	۰,۰۰	۰,۰۷	۰,۰۰	۰,۰۳
Ho ₂ O ₃	۰,۰۰	۰,۰۱	۰,۰۳	۰,۰۰	۰,۰۵	۰,۰۰	۰,۰۳	۰,۰۹	۰,۰۰	۰,۰۰	۰,۰۰	۰,۰۳	۰,۰۷	۰,۰۵	۰,۰۸	۰,۰۶	۰,۱۲
Er ₂ O ₃	۰,۰۰	۰,۰۷	۰,۰۶	۰,۰۱	۰,۰۰	۰,۰۱	۰,۰۰	۰,۰۰	۰,۰۰	۰,۰۱	۰,۰۰	۰,۰۰	۰,۰۰	۰,۰۰	۰,۰۱	۰,۰۰	۰,۰۰
Total	۹۹,۱۱	۹۹,۴۵	۹۹,۷۹	۹۹,۹۴	۱۰۰,۴۰	۱۰۰,۲۱	۹۹,۵۳	۹۹,۵۹	۹۹,۳۹	۹۹,۱۵	۹۹,۹۶	۱۰۰,۱۳	۱۰۰,۳۰	۱۰۰,۳۷	۱۰۰,۳۷	۹۹,۷۹	۱۰۰,۴۳

عناصر محسوب شده و در عین حال جایگاهی برای رشد میانبارهای مونازیت و زنوتیم در ساختار آپاتیت فراهم می‌کند. مناطق تیره‌ی آپاتیت از لحاظ Na_2O , SiO_2 , Cl , Y+LREE نسبت به مناطق روشن تهی شده اند. مشابه این بافت‌ها را پژوهشگران دیگر در نمونه‌های طبیعی [۱۴, ۲] و مصنوعی [۱۵, ۱۳] گزارش کرده‌اند. بخش‌های واکنشی کلرآپاتیت به دنبال دو واکنش زیر از لحاظ Y+LREE , Na , Si , Cl تهی شده است (شکل ۷ الف، ب):



در حضور شورابه‌های غنی از H-Ca-Na-Cl میانبارهای مونازیت و زنوتیم در بخش‌های تیره آپاتیت تشکیل نمی‌شود، در حالی که در حضور شورابه‌های غنی از K-H-Cl-C-S میانبارهای یاد شده در بخش‌های واکنشی آپاتیت تشکیل می‌شود [۱۵, ۱۳]. میانبارهای مونازیت و زنوتیم موجود در آپاتیت‌های منطقه اسفوردی به ترتیب از لحاظ LREE و HREE (شکل ۷ پ) غنی شده‌اند [۱۷]. از طرف دیگر میزان اورانیوم و توریم در آن‌ها کمتر از ۳٪ وزنی است که این امر نشان می‌دهد که مونازیت و زنوتیم مورد بررسی خاستگاه گرمابی دارند [۱۹, ۱۸, ۱۴].

به طور کلی دماسنجهای انجام شده روی سنگ میزبان کانسارهای مگنتیت-آپاتیت و IOCG دنیا، دما زیر حد ماقمایی را برای تشکیل آن‌ها پیشنهاد کرده است [۱۰]. برای مثال دماسنجهای انجام شده روی کانسارهای کیرونا [۲۰] و سوسکو [۲۱] به ترتیب گسترهای دمایی 400°C و $200^{\circ}\text{C}-450^{\circ}\text{C}$ را نشان می‌دهند. بر مبنای دماسنجهای انجام شده روی جفت کانی مونازیت-زنوتیم موجود در بخش‌های تیره آپاتیت‌های اولیه اسفوردی، دمای تشکیل آن‌ها $350^{\circ}\text{C}-150^{\circ}\text{C}$ درجه‌ی سانتیگراد به دست آمده است که این دما با نتایج ریز دماسنجهای انجام شده روی آپاتیت‌های اسفوردی منطبق است [۱]. کلرآپاتیت در حضور شاره‌های غنی از K-C-H در دمای 300°C و فشار ۵۰۰ مگاپاسکال به فلورآپاتیت تبدیل می‌شود و میانبارهای مونازیت و زنوتیم نیز در آن تشکیل می‌شوند [۲۲].

زنوتیم

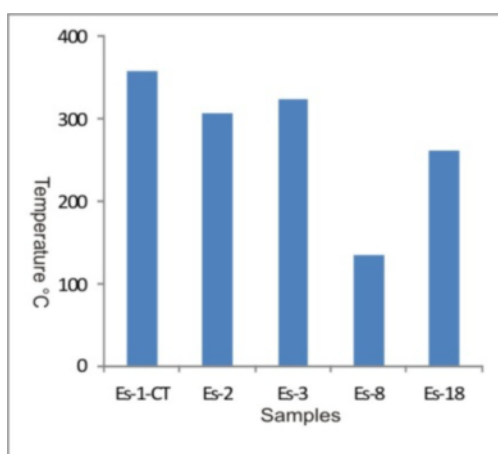
میانگین نتایج آنالیزهای ریزپردازشی زنوتیم‌های موجود در آپاتیت‌های منطقه‌ی اسفوردی در جدول ۳ خلاصه شده است. اینباشت LREE در مقایسه با HREE در دانه‌های زنوتیم بسیار کم است. اکسیدهای Gd_2O_3 , Dy_2O_3 , Er_2O_3 , Tb_2O_3 , Ho_2O_3 , Yb_2O_3 در زنوتیم دارای درصد قابل توجهی هستند.

دماسنجه مونازیت-زنوتیم

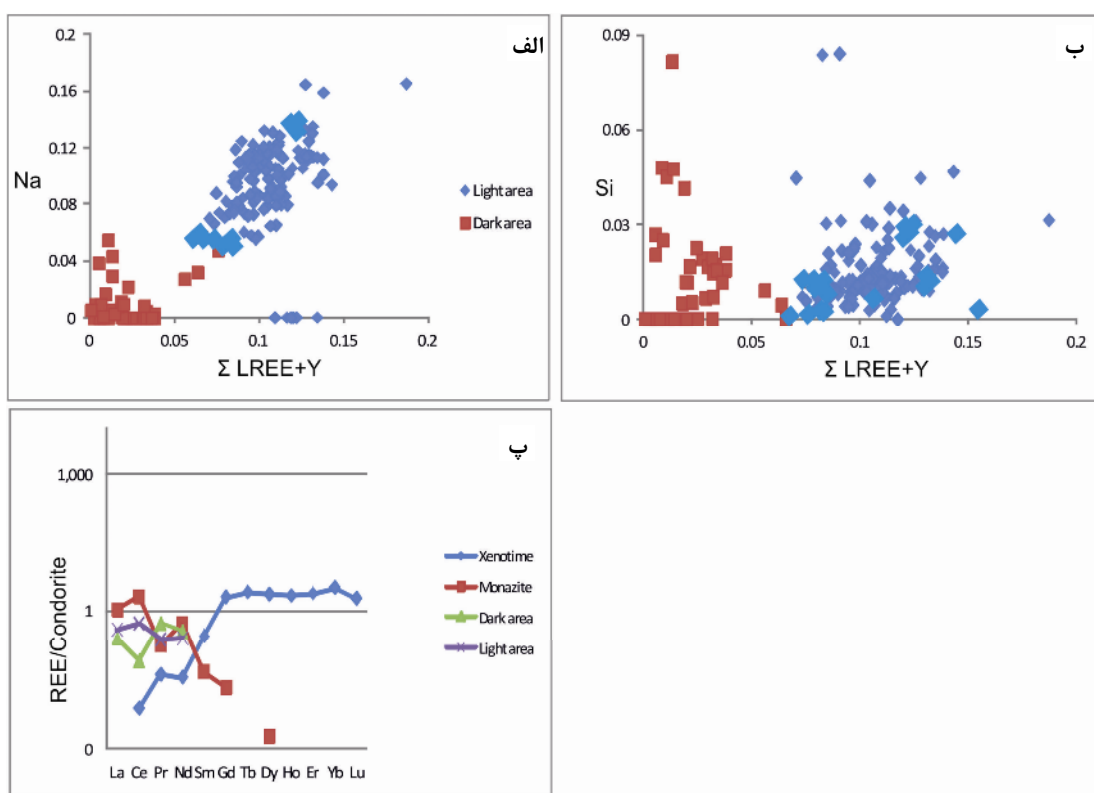
هاینریچ و همکاران [۴] و آندرس و هاینریچ [۵] به صورت تجربی، بر اساس توزیع عناصر نادرخاکی سنگین و ایتریم دماسنجه جفت کانی مونازیت-زنوتیم را درجه بندی کرده‌اند. بر اساس این دماسنجه‌ها جفت کانی مونازیت-زنوتیم (گرماب) در دامنه‌ی دمایی $350^{\circ}\text{C}-420^{\circ}\text{C}$ درجه سانتیگراد تشکیل شده‌اند (شکل ۶).

بحث

سنگ میزبان کانسار اسفوردی از سنگ‌های آتشفسانی فلسيک نظیر ریولیت و توف ریولیتی عضو میانی سازند ساغند تشکیل شده است [۱]. در کانسارهای آهن نوع کیرونا و اکسید آهن-مس-طلا (IOCG)، معمولاً چند نسل آپاتیت در کنار کانه‌های آهن با بافت توده‌ای تا برشی حضور دارند [۱۱-۹, ۱, ۲]. در این کانسارها آپاتیت و میانبارهای مونازیت و زنوتیم اولیه از شورابه‌های غنی از Cl یا H_2SO_4 که از مagma خارج می‌شود؛ به وجود می‌آید [۲]. به منظور تشکیل فلورآپاتیت لازم است $X_{\text{F}} > 0.9$ باشد در صورتی که برای تشکیل کلرآپاتیت $X_{\text{Cl}} < 0.1$ کافی است [۱۲]. بنابراین افزایش اندکی کلر در شاره نقش با اهمیتی بر ترکیب آپاتیت و دگرنهادی این کانی دارد. بر اساس بررسی‌های زمین‌شیمیایی کمی و نیمه کمی، فراوانی غیر عادی کلر در آپاتیت‌های اولیه (بخش‌های روشن) کانسار اسفوردی نشان می‌دهد که این آپاتیتها از نوع کلرآپاتیت بوده‌اند که در اثر دگرنهادی به هیدروکسیل فلورآپاتیت (بخش‌های تیره) تبدیل شده‌اند. هارلو و همکاران [۱۳] به صورت تجربی نشان دادند که در اثر تبدیل کلرآپاتیت به فلورآپاتیت و کاهش حجم ناشی از آن، میکرو و نانو حفره‌هایی در بخش‌های واکنشی آپاتیت به وجود می‌آیند که مسیر مناسبی برای عبور شاره شبیه دگرنهادی کننده و جایه‌جایی



شکل ۶ نمودار حاصل از دماسنجه زنوتیم-مونازیت.



شکل ۷ الف، ب نمودار دو تایی تغییرات عناصر Na، Si برای آپاتیت‌های اسفوردی. پ- عناصر نادر خاکی موجود در بخش‌های تیره-روشن آپاتیت و میانبارهای مونازیت-زنوتیم موجود در این کانی نسبت به کندریت بهنجار شده است، به منظور بهنجار کردن از داده‌های آندرس و همکار [۱۷] استفاده شده است.

H_2O به هیدروکسیل فلورآپاتیت تبدیل شده و از طرف دیگر مناطق واکنشی آپاتیت از Na، Si، Cl تهی شده است. این پدیده سبب تحرک عناصر نادر خاکی و پیدایش میانبارهای مونازیت و زنوتیم با خاستگاه گرمابی (در دمای زیر ۳۰۰ درجه

برداشت

ترکیب آپاتیت (I) در کانسنگ فسفات اسفوردی از نوع کلرآپاتیت است، که از لحاظ عناصر نادر خاکی و به ویژه سریم غنی است ($(\text{Y}+\text{LREE})_2\text{O}_3 = 1.52$). کلرآپاتیت در حضور

- [7] Haghipour A., “*Geological map of the Biabanak-Bafq area*”, Geological Survey of Iran. scale 1:100,000 (1977).
- [8] Williams G.J., Houchmandzadeh T.J., “*A petrological and genetic study of the Chogart iron body and the surrounding rocks*”, Geological Survey of Iran. Unpublished Report (1966) 18.
- [9] Hitzman M.W., “*Iron oxide-Cu-Au deposits: what, where, when, and why*. In: Porter, T.M. (Ed.), *Hydrothermal Iron Oxide Copper gold & Related Deposits*”, A Global Perspective, 1. PGC Publishing, Adelaide, Australia (2000) 9–25.
- [10] Hitzman M.W., Oreskes N., Einaudi M.T., “*Geological characteristics and tectonic setting of Proterozoic iron oxide (Cu-U-Au-REE) deposits*”, Precambrian Reserch 58 (1992) 241–287.
- [11] Nyström J.O., Henriquez F., “*Magmatic features of iron ores of the Kiruna type in Chile and Sweden: ore textures and magnetite geochemistry*”, Economic Geology 89 (1994) 820–839.
- [12] Zhu C., Sverjensky D.A., “*Partitioning of F-Cl-OH between minerals and hydrothermal fluids*”, Geochimica et Cosmochimica Acta 55 (1991) 1837–1858.
- [13] Harlov D.E., Wirth R., Förster H.J., “*An experimental study of dissolution-reprecipitation in fluorapatite: fluid infiltration and the formation of monazite*”, Contrib. Miner. Petrol. 150 (2005) 268–286.
- [14] Torab F.M., Lehmann B., “*Magnetite-apatite deposits of the Bafq district, Central Iran: apatite geochemistry and monazite geochronology*”, Mineralogical Magazine 71 (2007) 347–363.
- [15] Harlov D.E., Förster H.J., “*Fluid-induced nucleation of (Y+REE)-phosphate minerals within apatite: Nature and experiment. Part II. Fluorapatite*”, American Mineralogist 88 (2003) 1209–1229.
- [16] Fleet M.E., Pan Y., “*Site preference of rare earth elements in fluorapatite*”, Amer. Min 80 (1995) 329–335.
- [17] Anders, E., Grevesse, N., “*Abundances of the elements: Meteoritic and solar*”, Geochim. Cosmochim. Acta 53 (1989) 197–214.
- [18] Kositcin N., Mcnaughton N.J., Griffin B.H., Fletcher I.R., Groves D.I., Rasmussen B., “*Textural and geochemical discrimination between*

سانتیگراد) در بخش‌های تیره آپاتیت، در محل شکستگی‌ها، میکرو و نانو حفره‌ها و در مرز کانی‌های دیگر شده است. حضور کانی‌های رخساره‌ی شیست سبز مثل اکتینولیت، کلریت، تالک، کوارتز و کلسیت در درز و شکاف آپاتیت‌های واکنشی حاکی از شرایط حاکم بر رخساره شیست سبز هنگام دگرنهادی کلرآپاتیت بوده است.

قدرتدانی

این پژوهش بخشی از پایان نامه‌ی دکتری نویسنده اول است. نویسنده‌گان بر خود لازم می‌دانند که از معاونت محترم پژوهشی دانشگاه تهران به سبب حمایت از این طرح تقدیر و تشکر به عمل آورند. همچنین از دکتر دیتر رده و دکتر دانیل هارلو (GFZ, Germany) به خاطر آنالیزهای ریزپردازشی و تهییه‌ی تصاویر BSE تشکر می‌نمایند.

مراجع

- [1] Jami M., Dunlop A.C., Cohen D.R., “*Fluid Inclusion and Stable Isotope Study of the Esfordi Apatite-Magnetite Deposit, Central Iran*” Economic Geology 102 (2007) 1111–1128.
- [2] Harlov D.E., Andersson U.B., Förster H.J., Nyström J.O., Dulski P., Bromann C., “*Apatite-monazite relations in the Kiirunavaara magnetite-apatite ore, northern Sweden*”, Chemical Geology 191 (2002b) 47–72.
- [۳] تراب ف.م، ”بررسیهای ژئوشیمی و رادیوایزوتوپی برای تعیین خاستگاه آپاتیت در ذخایر آهن و آپاتیت منطقه‌ی معدنی بافق“، مجله بلورشناسی و کانی شناسی ایران ۳ (۱۳۸۹) ۴۰۹–۴۱۸.
- [4] Heinrich W., Andrehs G., Franz G., “*Monazite-xenotime miscibility gap thermometry: I. An empirical calibration*”, Journal of Metamorphic Geology 15 (1997) 3–17 [15]
- [5] Andrehs G., Heinrich W., “*Experimental determination of REE distributions between monazite and xenotime: potential for temperature-calibrated geochronology*”, Chemical Geology 149 (1998) 83–96.
- [6] Förster H., Jafarzadeh A., “*The Bafq mining district in central Iran—a highly mineralized Infracambrian volcanic field*”, Economic Geology 89 (1994) 1697–1721.

- [21] Monteiro L., Xavier R., Hitzman M., Juliani C., Souza Filho C., Carvalho E., “*Mineral chemistry of ore and hydrothermal alteration at the Sossego iron oxide–copper–gold deposit, Carajás Mineral Province, Brazil*”, *Ore Geology Reviews* 34 (2008) 317–336.
- [22] Harlov D.E., Förster H.J., Nijland T.G., “*Fluid-induced nucleation of REE-phosphate minerals in apatite: Nature and experiment. Part I. Chlorapatite*”, *American Mineralogist* 87 (2002a) 245–261.
- [23] Schandl E.S., Gorton M.P., “*A textural and geochemical guide to the identification of hydrothermal monazite: criteria for selection of samples for dating epigenetic hydrothermal ore deposits*”, *Economic Geology* 99 (2004) 1027–1035.
- [24] O’Farrelly K.S., “*A stable isotopic investigation of the origin and evolution of the Kiirunavaara iron mine, northern Sweden*”, Ph D Thesis, Univ. of Wales, Cardiff, Wales, United Kingdom (1990).
- [25] xenotime of different origin in the Archaean Witwatersrand Basin, South Africa”, *Geochimica et Cosmochimica Acta* 67 (4) (2003) 709–731.